

## ТЕРМИЧЕСКАЯ ЭФФУЗИЯ ВОДОРОДА В ПЛЕНКАХ $\alpha$ -С : Н, ПОЛУЧЕННЫХ МЕТОДОМ ПЛАЗМОХИМИЧЕСКОГО ОСАЖДЕНИЯ

Абдулвагабов М. Ш., Байков Ю. М., Жданович Н. С.,  
Косарев А. И., Цветков В. Ф.

Исследована термическая эффициенция (ТЭ) водорода в пленках  $\alpha$ -С : Н, полученных из смеси 10 %  $\text{CH}_4 + 90\%$  Ar методом плазмохимического газофазного осаждения в ВЧ разряде. Обнаружено, что ТЭ водорода в исследованных пленках имеет одну характерную температуру для «алмазоподобных» и две — для «графитоподобных» пленок. Из сравнения результатов ТЭ и ИК спектроскопии оценено содержание водорода в исследованных пленках. Из кинетики ТЭ и изменения ИК поглощения пленок в процессе отжига делаются выводы о форме связывания водорода в них.

Структура и свойства пленок  $\alpha$ -С : Н зависят от содержания водорода и типа химических связей, которые он образует с решеткой. Исследование термической эффициенции (ТЭ) водорода наряду с определением термической стабильности материала позволяет получить информацию о концентрации водорода в материале, а также судить о характере связи водорода с решеткой. ТЭ в пленках  $\alpha$ -С : Н изучалась в ряде работ. Так, Вилд и др. [1] измеряли ТЭ в пленках  $\alpha$ -С : Н в зависимости от потенциала смещения ( $V_b$ ) и нашли, что с ростом  $V_b$  от 50 до 500 В пороговая температура ТЭ возрастает от 300 до 600 °С. Ватанабэ и др. [2], исследуя термическую стабильность  $\alpha$ -С : Н, полученного в тлеющем разряде, установили, что при нагревании до 350 °С толщина пленок и оптическая ширина зоны уменьшаются не более чем на 10 %, при более высоких температурах происходит разложение пленок на летучие компоненты ( $\text{CH}_4$ ,  $\text{C}_2\text{H}_2$  и др.). Надлер и др. [3] изучали влияние термического отжига на пленки, полученные разложением углеводородов; при  $T_a = 500$  °С они наблюдали потерю водорода из состояний  $sp^3$  и образование C=C-связей, сопровождающееся уменьшением прозрачности пленок.

Исследуя пленки  $\alpha$ -С : Н, полученные методом плазмохимического газофазного осаждения, мы наблюдали изменение в широких пределах структуры аморфной сетки, связи водорода с сеткой, а также электронных свойств таких пленок [4]. Можно было предположить, что ТЭ водорода происходит неодинаково для пленок  $\alpha$ -С : Н с разной структурой, и поэтому представляло интерес исследовать ТЭ водорода в таких пленках и сопровождающие ТЭ изменения в их структуре.

В данной работе исследовалась ТЭ водорода в пленках  $\alpha$ -С : Н, полученных разложением смеси 10 %  $\text{CH}_4 + 90\%$  Ar в плазме ВЧ разряда в реакторе емкостного типа. В зависимости от условий получения структура и свойства пленок  $\alpha$ -С : Н изменялись в широких пределах — от «графитоподобных» (обладающих сравнительно высокой электропроводностью, большой величиной оптического поглощения при  $h\nu < 2.5$  эВ, наличием некоторого поглощения на 1600  $\text{cm}^{-1}$  в ИК спектре, присыпываемого обычно присутствию в аморфной сетке C=C-связей) до «алмазоподобных» (с низкой электропроводностью, слабым поглощением при  $h\nu < 2.5$  эВ, отсутствием поглощения на 1600  $\text{cm}^{-1}$ ) [4]. Разумеется, это — условное разделение пленок  $\alpha$ -С : Н на графитоподобные и алмазоподобные и основано оно прежде всего на данных по структуре ближнего

порядка [5]; электрические, оптические и другие свойства дают лишь дополнительную информацию в пользу того или иного.

Измерение ТЭ проводилось следующим образом: температура образца, помещенного в реактор с известным объемом, соединенный с масс-спектрометром, ступенчато повышалась и выдерживалась на каждой ступеньке в течение определенного времени ( $\sim 30$  мин), при этом контролировались давление в реакторе и пик водорода в масс-спектре. Если наблюдалось выделение водорода, то температура не поднималась до выхода сигнала на насыщение; затем реактор откачивался до исходного давления и продолжалось повышение температуры. На рис. 1 представлены типичные результаты экспериментов по ТЭ в пленках  $a\text{-C : H}$ . Наблюдалось два типа термоэфузии: с двумя характерными температурами (рис. 1, а) и с одной (рис. 1, б). Первый тип ТЭ характерен для графито-

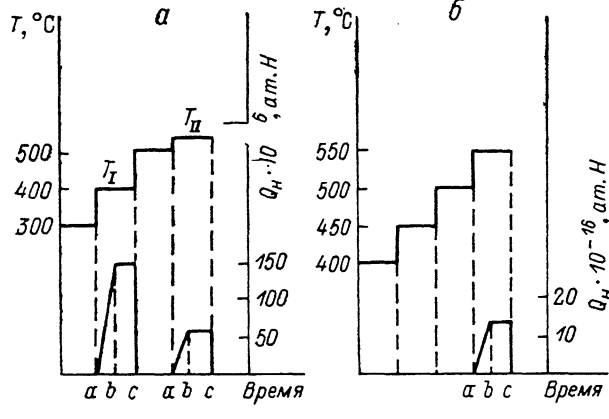


Рис. 1. Схематическое изображение ТЭ водорода в пленках  $a\text{-C : H}$  в случае двух (а) и одной (б) стадий.

а — начало ТЭ, б — окончание ТЭ, с — откачка выделившегося газа.  $Q_H$  — количество выделившегося водорода.

подобных пленок, а также пленок «полимерного типа» (широкозонных, но, например, полученных при сравнительно низкой температуре). Второй тип ТЭ наблюдался в алмазоподобных пленках  $a\text{-C : H}$ . Структура ближнего порядка была в них исследована ([5]) и наблюдалась корреляция данных по ТЭ со структурой. Выделение водорода во всех случаях происходило по линейному закону (рис. 2) (реакция нулевого порядка [6]). При давлениях, использованных в экспериментах, эта реакция необратима. Поэтому такой закон, по-видимому, свидетельствует о том, что скорость ТЭ не зависит от концентрации водорода в твердой фазе, а определяется скоростью процессов на границе, которая включает внутренние поверхности (столбы или поры, например), имеющие выход наружу.

Изменение химической связи водорода с решеткой после разных стадий ТЭ исследовалось с помощью ИК спектроскопии. На рис. 3 приведены типичные ИК спектры в области валентных колебаний связей С—Н после ТЭ при  $T_1$  и  $T_{II}$  (рис. 1, а) для пленки со структурой, приближающейся к алмазоподобной, но еще имеющей две стадии ТЭ.

В случае алмазоподобных пленок ТЭ имеет один пик при  $T=520-540$  °С. В этих пленках в исходном ИК спектре имеется сильное поглощение на валентных колебаниях связей С—Н в группах  $\text{CH}_n$  в  $sp^3$ -конфигурации ( $2800-3000$  см $^{-1}$ ) и полосы поглощения на деформационных колебаниях этих же связей ( $1375$  и  $1450$  см $^{-1}$ ). О наличии некоторого количества углерода в  $sp^2$ -конфигурации говорит лишь слабое поглощение в области  $3050$  см $^{-1}$ , проявляющееся в виде «плеча» на коротковолновом крыле полосы поглощения  $2800-3000$  см $^{-1}$  (рис. 3). Никаких следов поглощения на  $1600$  см $^{-1}$ , обусловленного наличием двойных связей С=С, в спектрах таких пленок не обнаружено. Заметного поглощения на  $1600$  см $^{-1}$  нет в спектрах таких пленок и после термообработок (ТО) (использовались температуры до  $600$  °С).

В исходных спектрах графитоподобных пленок поглощение в области 2800—3000  $\text{см}^{-1}$  обычно слабее, чем для алмазоподобных, а плечо у 3050  $\text{см}^{-1}$  более выражено. В спектрах таких пленок и до отжига наблюдается слабая полоса у 1600  $\text{см}^{-1}$ , причем ее интенсивность сильно увеличивается после первой же стадии ТЭ водорода. ТЭ водорода в графитоподобных пленках происходит при более низких температурах, чем в алмазоподобных. Самые низкие температуры для ТЭ в графитоподобных пленках составляют 300 ( $T_1$ ) и 430 °С ( $T_{II}$ ) в исследованных образцах.

После каждой стадии ТЭ в исследованных пленках  $a\text{-C : H}$  наблюдается уменьшение поглощения в области 2800—3000 и на 1375 и 1450  $\text{см}^{-1}$ , т. е. происходит уход водорода из групп  $\text{CH}_n$  в  $sp^3$ -конфигурации. Поглощение в области 3050  $\text{см}^{-1}$  во всех исследованных пленках при отжиге до 600 °С сохраняется

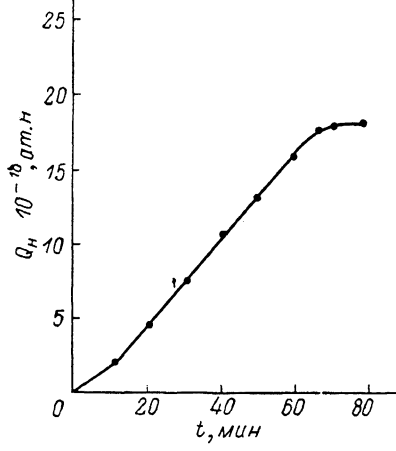


Рис. 2. Зависимость количества водорода, выделяющегося при данной температуре из пленки  $a\text{-C : H}$ , от времени отжига.

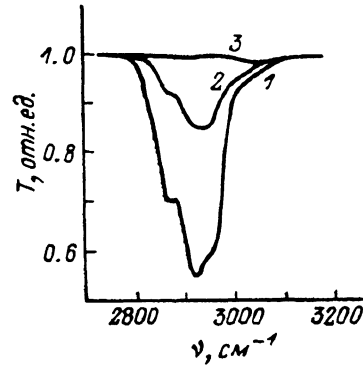


Рис. 3. ИК пропускание пленки  $a\text{-C : H}$  в области валентных колебаний групп  $\text{CH}_n$ . 1 — до отжига, 2 — после ТЭ при  $T_1$ , 3 — после ТЭ при  $T_{II}$ .

(рис. 3). Пленки с алмазоподобной сеткой после таких ТЭ сохраняют значительную прозрачность для ИК излучения.

Большинство исследованных пленок является [скорее промежуточным, чем обладающим чисто алмазоподобной или графитоподобной сеткой]. В промежуточных пленках со структурой, приближающейся к графитоподобной, основная эффузия водорода может происходить при 400, а выделение Н при 300 °С быть слабо выраженным. В таких пленках можно иногда наблюдать выделение некоторого количества водорода и при температуре выше 500 °С. В пленках промежуточного типа, приближающихся к алмазоподобным, наблюдаются обычно две стадии ТЭ: низкотемпературная фаза при температуре ~400, а высокотемпературная — при ~550 °С (спектр именно такой пленки приведен на рис. 3). Пленки, выращенные на разных подложках в одном технологическом режиме, могут иметь разную степень графитизации — пленки на кристаллическом кремнии ближе к алмазоподобным, чем выращенные на кварце.

Оказалось, что для оценки содержания водорода в исследованных пленках по интегральному поглощению в полосе валентных колебаний связей С—Н нельзя воспользоваться взятыми из литературы коэффициентами пропорциональности, так как при этом получается явно завышенное содержание Н, особенно в алмазоподобных пленках, не согласующееся с ТЭ и другими данными. Сравнение результатов ТЭ и ИК спектроскопии позволило оценить содержание водорода в исследованных алмазоподобных пленках в ~10 ат.%, а в графитоподобных — ~25 ат.%. Оценки эти не претендуют на высокую точность, ибо некоторое количество Н после проведенных термообработок еще остается в пленках. С другой стороны, в ТЭ дает вклад не только химически связанный водород, который регистрирует ИК спектроскопия, но также водород, сорбированный на поверхности. Анализ данных по ТЭ водорода говорит о том, что

после прогрева до  $\sim 600$  °С примерно 20 % от первоначального содержания водорода остается в пленках.

Следует также обратить внимание на изменения в интенсивности поглощения на  $1600 \text{ см}^{-1}$  в процессе ТЭ в графитоподобных пленках. В таких пленках следы поглощения в этой области, как отмечалось выше, наблюдаются и до отжига, а при первой же ТЭ это поглощение заметно возрастает. Все следующие ТЭ мало влияют на его интенсивность, хотя продолжается уменьшение интенсивности поглощения на  $2800-3000 \text{ см}^{-1}$ . Наблюданное поведение полосы  $1600 \text{ см}^{-1}$  можно объяснить, если предположить, что кроме обычных  $\text{CH}_n$ -групп в пленках есть еще некоторое количество водорода в состоянии, «разрывающем» двойные углеродные связи (это могут быть конфигурации типа

$\begin{array}{c} \diagup \\ \text{C} \\ \diagdown \end{array} - \text{H} - \begin{array}{c} \diagup \\ \text{C} \\ \diagdown \end{array}$ ), в результате чего в спектре исходной пленки нет заметного поглощения на  $1600 \text{ см}^{-1}$ , обусловленного двойными связями  $\text{C}=\text{C}$ . Можно предположить также, что в этом случае на низкотемпературной стадии ТЭ уход атомов Н из подобных состояний ведет к «восстановлению» двойных связей  $\text{C}=\text{C}$  (т. е.

в результате получаются конфигурации  $\begin{array}{c} \diagup \\ \text{C}=\text{C} \\ \diagdown \end{array}$ ) и резкому усилению поглощения на  $1600 \text{ см}^{-1}$ . Этот процесс, по-видимому, и имеет место в графитоподобных пленках при  $300$  °С. Образование дополнительных двойных углеродных связей ведет к уплотнению таких пленок и уменьшению их толщины на несколько процентов, что и наблюдается в исследованных графитоподобных образцах. Следующие, более высокотемпературные, стадии ТЭ мало влияют на интенсивность полосы  $1600 \text{ см}^{-1}$  и уменьшают (в конечном итоге до нуля) поглощение на  $2800-3000 \text{ см}^{-1}$ , т. е. на этих стадиях водород уходит в основном из групп  $\text{CH}_n$ , заканчивающих углеродные цепочки. Интенсивного образования двойных связей  $\text{C}=\text{C}$  может при этом и не происходить, поскольку водород в группах  $\text{CH}_3$  и  $\text{CH}_2$  локализован преимущественно на внутренних поверхностях, а не в объеме тетраэдрической углеродной сетки. Существование нескольких характерных температур ТЭ в пленках а-С : Н отражает различия в структуре пленок разного типа и в первую очередь, на наш взгляд, различия в характере внутренних границ. Этот вывод подтверждается и тем, что в исследованных пленках уменьшение поглощения на  $2800-3000 \text{ см}^{-1}$  происходит в результате ТЭ таким образом, что нельзя связать разные температурные стадии ТЭ с уходом водорода из различных групп —  $\text{CH}_2$  или  $\text{CH}_3$ , поскольку полоса поглощения, состоящая из нескольких мод, соответствующих колебаниям связей  $\text{C}-\text{H}$  в  $\text{CH}_2$ - и  $\text{CH}_3$ -группах, уменьшается как целое, не меняя существенно своей формы (рис. 3).

Таким образом, экспериментальные результаты, включая кинетику ТЭ, могут быть объяснены в предположении, что водород находится в пленках а-С : Н в нескольких состояниях. В исследованном интервале температур при ТЭ из пленок выделяется водород, находящийся: 1) на внешних и внутренних поверхностях и границах в группах  $\text{CH}_2$  и  $\text{CH}_3$  в  $sp^3$ -конфигурации, уходящий из графитоподобных пленок при  $\sim 400$ , а из алмазоподобных — при  $\sim 550$  °С и дающий основной вклад в ТЭ (при  $300$  °С выделяется лишь небольшая часть общего количества водорода); 2) в состоянии, разрывающем углеродные двойные связи. В этом случае низкотемпературная стадия ТЭ ведет к образованию  $\text{C}=\text{C}$ -связей в графитоподобных пленках. В исследованной области спектра мы не обнаружили полос поглощения, которые можно было бы присвоить этому гипотетическому состоянию Н. Это модель, которая, на наш взгляд, хорошо объясняет образование и кинетику полосы поглощения  $1600 \text{ см}^{-1}$ , появляющейся в результате ТЭ в графитоподобных пленках, но для окончательного вывода необходимы, конечно, дополнительные исследования. Некоторое количество водорода после отжига при использованных температурах (до  $600$  °С) остается в аморфной сетке, обуславливая сохранение слабой полосы поглощения  $3050 \text{ см}^{-1}$  и прозрачности материала в ИК области. Наблюданное уменьшение толщины в результате ТЭ в исследованных графитоподобных пленках составляет менее 10 %.

Список литературы

- [1] Wild Ch., Koidl P. // Appl. Phys. Lett. 1987. V. 51. N 19. P. 1506—1508.
- [2] Watanabe I., Okumura T. // Japan J. Appl. Phys. Pt I. 1986. V. 25. N 12. P. 1851—1854.
- [3] Nadler M. F., Donovan T. M., Green A. K. // Thin Sol. Films. 1984. V. 116. N 1-3. P. 241—247.
- [4] Косарев А. И., Абдулвагабов М. Ш., Байков Ю. М., Жданович Н. С., Андреев А. А., Лихолетов Ю. В., Цветков В. Ф. // Тез. докл. семинара «Аморфные полупроводники и диэлектрики на основе кремния в микроэлектронике». Одесса, 1989. С. 60.
- [5] Абдулвагабов М. Ш., Косарев А. И., Лихолетов Ю. В., Цветков В. Ф. // Тр. IX Междунар. конф. «Некристаллические полупроводники-89». Ужгород, 1989. Т. 3. С. 123—125.
- [6] Захарьевский М. С. Кинетика и катализ. Л., 1963.

Физико-технический институт  
им. А. Ф. Иоффе АН СССР  
Ленинград

Получена 3.01.1990  
Принята к печати 10.09.1990